

泊松方程的蒙特卡洛算法

计算数学所 刘乐

序 言

首先,感谢的是数学院研究生会组织的这次数学科普活动,为我们不同研究方向的同学提供了一个交流的平台.

在这篇文章中,我分享的内容是求解泊松方程的蒙特卡洛算法.目前,求解偏微分方程的主流方法包括有限差分法、有限元方法及有限体积法等.这些均是确定性算法,相对于它们,蒙特卡洛算法是一种随机算法.它基于的是概率论中的大数定律,将方程的解在某点处的值转化为某一个随机变量的期望,然后用独立采样的平均值去逼近这个期望,以达到近似方程解的效果.

蒙特卡洛算法求解泊松方程的好处主要体现在两个方面.一是,它相较于其他算法,十分便于并行化,从而有利于计算速度的提高;二是,它的结论特别直观,可以独立求出微分方程的解在任意一点处的函数值.这两点好处将在文中呈现.

已有的结论是关于调和方程的情形,我们对一般情形的泊松方程的蒙特卡洛算法进行了探究,给出了相应的结论,并通过数值算例来展示算法的计算效果.

下面分享给大家.

第 1 部分 问题描述

泊松方程 $-\Delta u = f$ 是椭圆型方程的代表,特别地,当 $f \equiv 0$ 时,称为调和方程.

在静电学中很容易遇到泊松方程,如: $-\Delta \Phi = \frac{\rho}{\epsilon_0}$, 这里 Φ 表示电势, ρ 是电荷体密度, ϵ_0 是真空电容率. 如果空间中某区域静带电粒子为 0, 则 $\rho = 0$, 此时就变为了调和方程 $-\Delta \Phi = 0$.

本文考虑二维泊松方程的 Dirichlet 边值问题:

$$\begin{cases} -\Delta u(x, y) = f(x, y), (x, y) \in \Omega, \\ u(x, y) = \varphi(x, y), (x, y) \in \partial\Omega, \end{cases} \quad (1)$$

这里 Ω 是求解区域, $\partial\Omega$ 是 Ω 的边界.

第 2 部分 数值方法

简单起见, 考虑正方形区域 $\Omega = [a, b] \times [a, b]$.

2.1 先睹为快

我们以调和方程为例, 先看看结论. 比如, 我们要求取图 1 中红色标记点 (x, y) (或 (i, j)) 处方程 (1) 的解 $u(x, y)$ (或 $u_{i,j}$) 的近似值.

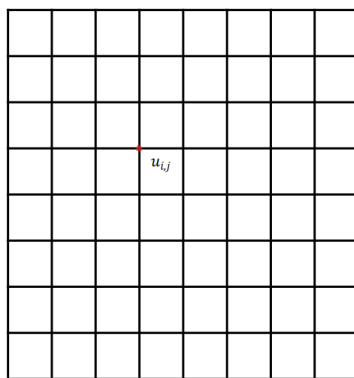


图 1: 随机游走 1

这可以通过等概率的随机游走来完成. 具体地, 从网格点 (x, y) 处出发, 沿着网格线朝着四个方向均以 $\frac{1}{4}$ 的概率随机游走, 当走到区域的边界 $(x^{(1)}, y^{(1)})$ 时, 则停止, 并记下此时边界处的函数值 $\varphi(x^{(1)}, y^{(1)})$, 这是第一次实验; 就像这样, 反复独立地做 N (充分大) 次实验, 可以得到序列 $\{\varphi(x^{(k)}, y^{(k)})\}_{k=1}^N$, 那么

$$\frac{1}{N} \sum_{k=1}^N \varphi(x^{(k)}, y^{(k)}) \stackrel{p, \varepsilon}{\approx} u(x, y),$$

这里 $\stackrel{p, \varepsilon}{\approx}$ 表示以概率 p 落在区间 $[u(x, y) - \varepsilon, u(x, y) + \varepsilon]$ 内. 可以证明 (见后文), 对于任意的 $\varepsilon > 0$, 当 N 充分大且网格剖分足够细时, p 都能趋于 1.

2.2 五点差分格式回顾

将 $[a, b]$ 剖分成 n 份, 设步长为 $h = \frac{b-a}{n}$, 设格点横纵坐标 $x_i = y_i = a + ih, 0 \leq i \leq n$.

当 $1 \leq i, j \leq n-1$ 时, 由

$$\begin{aligned}\frac{\partial^2 u}{\partial x^2}(x_i, y_i) &\approx \frac{1}{h^2}[u(x_{i-1}, y_j) - 2u(x_i, y_j) + u(x_{i+1}, y_j)], \\ \frac{\partial^2 u}{\partial y^2}(x_i, y_i) &\approx \frac{1}{h^2}[u(x_i, y_{j-1}) - 2u(x_i, y_j) + u(x_i, y_{j+1})],\end{aligned}$$

将它们代入微分方程 (1), 并用 $u_{i,j}$ 代替 $u(x_i, y_j)$ 可得五点差分格式:

$$u_{i,j} = \frac{1}{4}[u_{i,j-1} + u_{i-1,j} + u_{i+1,j} + u_{i,j+1}] + \frac{1}{4}h^2 f(x_i, y_j), \quad (2)$$

$$u_{0,j} = \varphi(a, y_j), u_{n,j} = \varphi(b, y_j), \quad (3)$$

$$u_{i,0} = \varphi(x_i, a), u_{i,n} = \varphi(x_i, b), \quad (4)$$

这里 $1 \leq i, j \leq n-1$.

2.3 辛钦大数定律回顾

引理 2.1 设 $\{X_k\}_{k=1}^{\infty}$ 为独立同分布随机变量序列, 若 $E[X_1] = \mu$ 存在, 则 $\frac{1}{N} \sum_{k=1}^N X_k$ 依概率收敛于 μ , 即对任意的 $\varepsilon > 0$ 都有

$$\lim_{N \rightarrow \infty} P \left\{ \left| \frac{1}{N} \sum_{k=1}^N X_k - \mu \right| < \varepsilon \right\} = 1.$$

2.4 主要思想

对于 $u_{i,j}, 1 \leq i, j \leq n-1$, 如果我们能找到一个随机变量 $X_{i,j}$, 使得 $u_{i,j} = E[X_{i,j}]$, 那么由辛钦大数定律, 取 $X_k = X_{i,j}, \forall k$, 则 $\frac{1}{N} \sum_{k=1}^N X_k$ 依概率收敛于 $u_{i,j}$, 那么我们对随机变量 $X_{i,j}$ 独立采样 N (充分大) 次, 再求平均值, 即可作为 $u_{i,j}$ 的近似值.

所以关键在于寻找满足要求 $E[X_{i,j}] = u_{i,j}$ 的随机变量 $X_{i,j}$.

2.5 先猜后证

2.5.1 调和方程的情形

猜想

考虑最简单的调和方程, 只有一个未知格点值的情况, 如图 2:

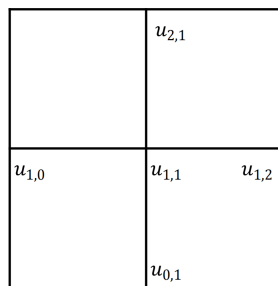


图 2: 随机游走 2

由方程 (2) 可知 $u_{1,1} = \frac{1}{4}[u_{1,0} + u_{0,1} + u_{2,1} + u_{1,2}]$, 显然, 它是离散型随机变量

$$X_{1,1} \sim \begin{pmatrix} u_{2,1} & u_{1,0} & u_{0,1} & u_{1,2} \\ 1/4 & 1/4 & 1/4 & 1/4 \end{pmatrix}$$

的期望. 而随机变量 $X_{1,1}$ 可以看成从网格坐标 $(1,1)$ 出发, 沿着网格线朝着四个方向均以 $\frac{1}{4}$ 的概率随机游走, 每步走一格, 走到边界点则停止, 停止时, 该边界点处的函数值.

下面内容将基于这种思想进行推广, 并给出证明.

推广与证明

定义 1 设一族随机变量 $\{X_{i,j}, 1 \leq i, j \leq n-1\}$, 其中 $X_{i,j}$ 表示从网格坐标 (i,j) 处沿着网格线朝着四个方向均以 $\frac{1}{4}$ 的概率随机游走, 每步走一格, 走到边界点则停止, 停止时, 该边界点处的函数值.

定理 2.1 $E[X_{i,j}] = u_{i,j}, \forall 1 \leq i, j \leq n-1$.

证明 设 $\varphi_{s,t}$ 表示边界网格点 (s,t) 处的函数值, 又随机变量 V 表示第一步随机游走的方向, 它的取值为 $0, 1, 2, 3$, 分别代表上、下、

左、右. 则由条件概率公式, 有

$$\begin{aligned}
 & P(X_{i,j} = \varphi_{s,t}) \\
 &= P(V=0)P(X_{i,j} = \varphi_{s,t}|V=0) + P(V=1)P(X_{i,j} = \varphi_{s,t}|V=1) \\
 &+ P(V=2)P(X_{i,j} = \varphi_{s,t}|V=2) + P(V=3)P(X_{i,j} = \varphi_{s,t}|V=3) \\
 &= \frac{1}{4}[P(X_{i+1,j} = \varphi_{s,t}) + P(X_{i-1,j} = \varphi_{s,t}) \\
 &+ P(X_{i,j-1} = \varphi_{s,t}) + P(X_{i,j+1} = \varphi_{s,t})],
 \end{aligned}$$

两边同时乘以 $\varphi_{s,t}$, 有:

$$\begin{aligned}
 \varphi_{s,t}P(X_{i,j} = \varphi_{s,t}) &= \frac{1}{4}\varphi_{s,t}[P(X_{i,j-1} = \varphi_{s,t}) + P(X_{i,j+1} = \varphi_{s,t}) \\
 &+ P(X_{i-1,j} = \varphi_{s,t}) + P(X_{i,j} = \varphi_{s,t})],
 \end{aligned}$$

两边关于 (s, t) 求和即得:

$$E[X_{i,j}] = \frac{1}{4}(E[X_{i,j-1}] + E[X_{i,j+1}] + E[X_{i-1,j}] + E[X_{i+1,j}]).$$

此即为五点差分格式所满足的方程, 由五点差分格式线性方程组解的存在唯一性可得: $E[X_{i,j}] = u_{i,j}, \forall 1 \leq i, j \leq n-1$.

2.5.2 一般泊松方程的情形

猜想

为了构造相关随机变量, 我们先考虑 $n=3$ 的情形, 如图 3 所示:

直接求解方程 (2) 系数矩阵的逆矩阵, 可得关系

$$\begin{bmatrix} u_{1,1} \\ u_{1,2} \\ u_{2,2} \\ u_{2,1} \end{bmatrix} = \begin{bmatrix} 7/24 & 1/12 & 1/24 & 1/12 \\ 1/12 & 7/24 & 1/12 & 1/24 \\ 1/24 & 1/12 & 7/24 & 1/12 \\ 1/12 & 1/24 & 1/12 & 7/24 \end{bmatrix} \left(\begin{bmatrix} \varphi_{1,0} + \varphi_{0,1} \\ \varphi_{0,2} + \varphi_{1,3} \\ \varphi_{3,2} + \varphi_{2,3} \\ \varphi_{3,1} + \varphi_{2,0} \end{bmatrix} + \begin{bmatrix} h^2 f_{1,1} \\ h^2 f_{1,2} \\ h^2 f_{2,2} \\ h^2 f_{2,1} \end{bmatrix} \right),$$

此系数矩阵乘以 2, 即为概率矩阵. 再结合五点差分格式

$$u_{i,j} = \frac{1}{4}[u_{i,j-1} + u_{i-1,j} + u_{i+1,j} + u_{i,j+1}] + \frac{1}{4}h^2 f(x_i, y_j)$$

	$\varphi_{3,1}$	$\varphi_{3,2}$
$\varphi_{2,0}$	$u_{2,1}$	$u_{2,2}$ $\varphi_{2,3}$
$\varphi_{1,0}$	$u_{1,1}$	$u_{1,2}$ $\varphi_{1,3}$
	$\varphi_{0,1}$	$\varphi_{0,2}$

图 3: $n=3$ 的情况

知一点电势受它周围四点影响, 同时受本点电荷密度的影响, 那么由递推关系, 亦受周围四点电荷密度的影响, 扩散出去, 进而受所有点的电荷密度的影响, 那么影响程度是怎么样的呢? 由上面 $n=3$ 的式子情况, 比如 $u_{1,1}$ 受内部电荷影响的量为

$$\frac{1}{4} \left(\frac{7}{6} h^2 f_{1,1} + \frac{1}{3} h^2 f_{1,2} + \frac{1}{6} h^2 f_{2,2} + \frac{1}{3} h^2 f_{2,1} \right),$$

由前面的系数的大小, 我们就猜想应该和随机游走经过的次数有关. 随机游走时, 经过内网格点 (k, l) 一次加一次 $\frac{1}{4} h^2 f_{k,l}$. 这里系数不是整数, 它体现的是次数的期望, 我们下面需要对这个猜想进行证明.

推广与证明

定义 2 设随机变量 $O_{i,j}^{k,l}$ 表示从任意网格坐标 (i, j) 出发沿着网格线朝着四个方向均以 $\frac{1}{4}$ 的概率随机游走, 每步走一格, 到边界则停止, 到停止时, 经过内网格坐标 (k, l) 的次数. 这里, 当 (i, j) 为边界网格坐标时, $O_{i,j}^{k,l} \equiv 0$.

定义 3 设电势积累随机变量为

$$C_{i,j} = \sum_{k,l} \left(\frac{1}{4} h^2 f_{k,l} \right) O_{i,j}^{k,l}.$$

定理 2.2 对于任意的内网格坐标 (i, j) , 下式成立:

$$E[C_{i,j}] = \frac{1}{4}(E[C_{i,j-1}] + E[C_{i-1,j}] + E[C_{i+1,j}] + E[C_{i,j+1}]) + \frac{1}{4}h^2 f_{i,j}.$$

证明 记

$$\delta_{(i,j),(k,l)} = \begin{cases} 1, & (i,j) = (k,l) \\ 0, & (i,j) \neq (k,l) \end{cases},$$

由

$$E[O_{i,j}^{k,l}] = \delta_{(i,j),(k,l)} + \frac{1}{4}(E[O_{i,j-1}^{k,l}] + E[O_{i-1,j}^{k,l}] + E[O_{i+1,j}^{k,l}] + E[O_{i,j+1}^{k,l}])$$

两边同乘以 $\frac{1}{4}h^2 f_{k,l}$, 可得

$$\begin{aligned} \frac{1}{4}h^2 f_{k,l} E[O_{i,j}^{k,l}] &= \frac{1}{4}h^2 \delta_{(i,j),(k,l)} f_{k,l} + \frac{1}{4} \times \frac{1}{4}h^2 f_{k,l} (E[O_{i,j-1}^{k,l}] + E[O_{i-1,j}^{k,l}] \\ &\quad + E[O_{i+1,j}^{k,l}] + E[O_{i,j+1}^{k,l}]), \end{aligned}$$

关于 (k, l) 求和, 并由期望的线性性质即得

$$E[C_{i,j}] = \frac{1}{4}(E[C_{i,j-1}] + E[C_{i-1,j}] + E[C_{i+1,j}] + E[C_{i,j+1}]) + \frac{1}{4}h^2 f_{i,j}.$$

定义 4 对于任意网格坐标 (i, j) , 记随机变量 $Y_{i,j} = X_{i,j} + C_{i,j}$, 即其表示从任意网格坐标 (i, j) 出发沿着网格线朝着四个方向均以 $\frac{1}{4}$ 的概率随机游走, 每步走一格, 到边界则停止, 到停止时, 经过内网格坐标的电势的积累与到达的边界网格坐标处的电势之和.

定理 2.3 对于任意的网格坐标 (i, j) , 成立

$$E[Y_{i,j}] = u_{i,j}.$$

证明 当 (i, j) 为边界网格坐标时, 由 $E[C_{i,j}] = 0, E[X_{i,j}] = \varphi_{i,j} = u_{i,j}$ 知 $E[Y_{i,j}] = u_{i,j}$;

当 (i, j) 是内网格坐标时,

$$\begin{aligned} E[X_{i,j}] &= \frac{1}{4}(E[X_{i,j-1}] + E[X_{i,j+1}] + E[X_{i-1,j}] + E[X_{i+1,j}]), \\ E[C_{i,j}] &= \frac{1}{4}(E[C_{i,j-1}] + E[C_{i-1,j}] + E[C_{i+1,j}] + E[C_{i,j+1}]) + \frac{1}{4}h^2 f_{i,j}, \end{aligned}$$

相加, 即得

$$E[Y_{i,j}] = \frac{1}{4}(E[Y_{i,j-1}] + E[Y_{i-1,j}] + E[Y_{i+1,j}] + E[Y_{i,j+1}]) + \frac{1}{4}h^2 f_{i,j},$$

知 $E[Y_{i,j}]$ 与泊松方程五点差分格式满足相同的线性方程组, 由解的唯一性, 可得 $E[Y_{i,j}] = u_{i,j}$.

2.6 算法设计

有了函数值 $u_{i,j}$ 的近似为随机变量 $Y_{i,j}$ 的期望, 则由辛钦大数定律, 对于任意给定的 $\varepsilon > 0$, $\frac{1}{N} \sum_{k=1}^N y_{i,j}^{(k)} \in [u_{i,j} - \varepsilon, u_{i,j} + \varepsilon]$ 以概率 $p(N, \varepsilon)$ 成立, 且 $\lim_{N \rightarrow \infty} p(N, \varepsilon) = 1$. 其中 $\{y_{i,j}^{(k)}\}_{k=1}^N$ 为 $Y_{i,j}$ 的 N 次独立采样.

根据我们的理论可以给出以下算法:

算法 泊松方程的蒙特卡洛算法

1. **输入**: 区域 $[a, b] \times [a, b]$ 边长剖分的个数 n , 要求函数值的网格坐标 (i, j) , 采样次数 N .
 2. **初始化**: 内电势积累 $C = 0$, 边界电势积累 $X = 0$, 步长 $h = \frac{b-a}{n}$, 记录采样次数的变量 $k = 0$, 当前网格坐标 $(ii, jj) = (i, j)$, 当前实际坐标 $(x_{ii}, y_{jj}) = (a + ih, a + jh)$, 随机变量的值 r , 网格坐标 (i, j) 处函数值的近似 $rs = 0$.
 3. **过程**:
 4. **for** $k = 1, 2, \dots, N$ **do**
 5. **while** (ii, jj) 是内网格坐标 **do**
 6. 得到实际坐标 $(x_{ii}, y_{jj}) = (a + iih, a + jjh)$.
 7. 更新 $C = C + \frac{1}{4}h^2 f(x_{ii}, y_{jj})$.
 8. 从 $\{0, 1, 2, 3\}$ 中等概率采样, 得到随机变量的值 r .
 9. **if**($r=0$) $ii=ii+1$;
 10. **elif**($r=1$) $ii=ii-1$;
 11. **elif**($r=2$) $jj=jj-1$;
 12. **else** $jj=jj+1$;
 13. **end if**
 14. **end while**
 15. 得到实际坐标 $(x_{ii}, y_{jj}) = (a + iih, a + jjh)$.
 16. 更新 $X = X + \varphi(x_{ii}, y_{jj})$.
 17. 还原坐标 $(ii, jj) = (i, j)$.
 18. **end for**
 19. 输出: 网格坐标 (i, j) 处函数值的近似 $rs = \frac{X+C}{N}$.
-

第 3 部分 收敛性分析与数值算例

3.1 收敛性分析

设 ω 是内网格坐标集合, 对于五点差分格式有结论:

引理 3.1

$$\max_{(i,j) \in \omega} |u(x_i, y_j) - u_{i,j}| \leq C(\Omega, f, \varphi) h^2,$$

这里 $C(\Omega, f, \varphi)$ 是依赖于 Ω, f, φ 的正常数.

由前面知, 对于任意给定的 $\varepsilon > 0$,

$$\frac{1}{N} \sum_{k=1}^N y_{i,j}^{(k)} \in \left[u_{i,j} - \frac{1}{2}\varepsilon, u_{i,j} + \frac{1}{2}\varepsilon \right]$$

以概率 $p(N, \frac{1}{2}\varepsilon)$ 成立, 且 $\lim_{N \rightarrow \infty} p(N, \frac{1}{2}\varepsilon) = 1$. 其中 $\{y_{i,j}^{(k)}\}_{k=1}^N$ 为 $Y_{i,j}$ 的 N 次独立采样.

由引理 3.1, 当 n 充分大时, 有

$$\left[u_{i,j} - \frac{1}{2}\varepsilon, u_{i,j} + \frac{1}{2}\varepsilon \right] \subset [u(x_i, y_j) - \varepsilon, u(x_i, y_j) + \varepsilon],$$

所以

$$\frac{1}{N} \sum_{k=1}^N y_{i,j}^{(k)} \in [u(x_i, y_j) - \varepsilon, u(x_i, y_j) + \varepsilon]$$

以概率 $q(N, \varepsilon) > p(N, \frac{1}{2}\varepsilon)$ 成立, 更有 $\lim_{N \rightarrow \infty} q(N, \varepsilon) = 1$.

3.2 数值算例

考虑算例:

$$\begin{cases} -\Delta u(x, y) = (\pi^2 - 1)e^x \sin(\pi y), (x, y) \in (0, 1) \times (0, 1), \\ u(0, y) = \sin(\pi y), u(1, y) = e \sin(\pi y), y \in [0, 1], \\ u(x, 0) = 0, u(x, 1) = 0, x \in (0, 1), \end{cases}$$

该问题的精确解为 $u(x, y) = e^x \sin(\pi y)$.

我们对每个内网格点 (i, j) 均利用上面蒙特卡洛算法求解, 得到相

应的近似值为 $rs_{i,j}$, 然后看平均误差 $merror$ 的大小, 这里我们采用 1-范数, 即

$$merror = \frac{1}{n^2} \sum_{i=1}^n \sum_{j=1}^n |rs_{i,j} - u(x_i, y_j)|.$$

计算结果如下:

merror \ n \ N	10	20	40	80
10	0.253955	0.250992	0.227093	0.227312
100	0.0847661	0.0806093	0.0740826	0.0720648
1000	0.0234798	0.0256761	0.0235552	0.023018

3.3 误差定性分析

通过表格可以看出, 当区域边长剖分个数 n 固定时, $merror$ 随着采样步数 N 的增加, 明显变小; 当采样步数 N 固定时, $merror$ 随着区域边长剖分个数 n 的增加, 变化较小.

这是可以理解的. 事实上, 我们的误差来源于两部分, 一是, 五点差分格式的解 $u_{i,j}$ 与真实解 $u(x_i, y_j)$ 的误差; 二是, 蒙特卡洛算法所得结果 $rs_{i,j}$ 与五点差分格式的解 $u_{i,j}$ 的误差. 由引理 3.1, 前者是二阶的, 即为 $O(1/n^2)$, 在本例中 (区域边长为 1) 我们取的 n 已经足够大了, 可以保证, 前者带来的误差是微乎其微了, 所以主要误差在于蒙特卡洛算法, 因此当步长增大时能够显著减少误差.

第 4 部分 总结与展望

我们知道, 用蒙特卡洛算法求每个点方程解函数值的近似值时, 求法上不依赖于周围其他点的信息, 只需要采样即可, 而采样可以并行来进行, 这比五点差分格式的并行处理简单得多. 另外一点好处是蒙特卡洛算法可以直接求出任意一点处的近似值, 而五点差分格式做不到这一点. 特别是在高维情形, 蒙特卡洛算法几乎成了唯一的选择.

关于蒙特卡洛算法, 本文只是粗糙地利用一下其基本原理, 这个算法本身就是一门专门而系统的学问, 包括方差减小技术、重要性采样、切片抽样等等, 这些需要将来进一步地学习.

第 5 部分 参考文献

- [1] 游皎, 李万爱. 高效蒙特卡罗方法在偏微分方程初边值问题中的应用 [J]. 中山大学学报: 自然科学版, (2015)06-0037-05.
- [2] 刘春光. 偏微分方程边值问题的蒙特卡罗解法 [D]. 长春: 吉林大学, 2004.
- [3] Michael J. Quinn. 陈文光, 武永卫等译. MPI 与 OpenMP 并行程序设计: C 语言版 [M]. 北京: 清华大学出版社, 2004.